

بررسی رفتار ستون‌های بتن‌آرمه تقویت شده با دورپیچ CFRP تحت اثر نیروی برون محور

محمد رضا اصفهانی

دانشیار گروه عمران – دانشکده مهندسی – دانشگاه فردوسی مشهد

Esfahani@ferdowsi.um.ac.ir

حمیدرضا صالحیان

فارغ التحصیل کارشناسی ارشد عمران – دانشکده مهندسی – دانشگاه فردوسی مشهد

hamid.r.salehian@gmail.com

(تاریخ دریافت ۸۳/۱۲/۲۲، تاریخ تصویب ۸۴/۶/۲۶)

چکیده

دورپیچ نمودن ستون‌های بتنی با پلیمرهای مسلح FRP از جمله روش‌های نوین ترمیم و مقاومسازی این اعضا محسوب می‌شود. رابطه‌های تحلیلی موجود برای محاسبه و تخمین مشخصه‌های باربری ستون‌های تقویت شده با این روش غالباً با انجام آزمایش بر روی نمونه‌هایی با مقطع مدور و تحت اثر نیروی فشاری محوری به دست آمداند، در حالی که سیاری از ستون‌های نیازمند ترمیم مقطعی چهارگوش دارند و تحت اثر اندرکنش بار فشاری و لنگر خمی قرار می‌گیرند. در این مقاله، نتایج مطالعه‌ای آزمایشگاهی پیرامون ظرفیت باربری ستون‌های دورپیچ شده با پلیمرهای مسلح کربنی CFRP ارائه می‌گردد. نمونه‌های آزمایشگاهی شامل ۶ ستون دورپیچ شده به طول ۷۰ سانتیمتر و با مقطعی مربعی شکل به ضلع ۲۰ سانتیمتر هستند که در برون محوری‌های مختلف تحت اثر بار فشاری قرار می‌گیرند. نتایج حاصل از این پژوهش نشان می‌دهد که تاثیر مثبت محصورشدن ستون‌ها با افزایش برون محوری بار فشاری کاهش می‌یابد. در این مقاله روشی برای در نظر گرفتن کاهش اثر محصورکنندگی دورپیچ FRP در برون محوری‌های مختلف ارائه شده و نتایج حاصل از آن با مقادیر آزمایشگاهی مقایسه گردیده است.

واژه‌های کلیدی: برون محوری، پلیمرهای مسلح، دورپیچ، ستون بتن‌آرمه، محصورشدن

مقدمه

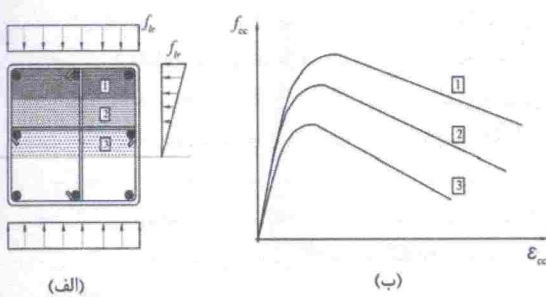
بسیار بالا، مقاومت خوردگی و دوام مطلوب، سهولت حمل و به کارگیری و نیز تاثیر هندسی ناچیز در اجزای تقویت شده بود. استفاده از کامپوزیت‌های FRP از دهه ۱۹۸۰ و به منظور ترمیم و حفاظت از ستون‌های آسیب‌دیده بتنی پل‌ها، مرسوم گردید. مطالعات بعد نشان داد که دورپیچ‌های FRP، علاوه بر محافظت ستون‌ها در برابر عوامل مخرب محیطی، بهبود شاخصه‌های باربری آنها را نیز به دنبال دارند. هنگامی که ستون دورپیچ شده، تحت اثر بار فشاری قرار می‌گیرد، دورپیچ پیرامونی از انساط محیطی مقطع، ناشی از گسترش ترک‌های فشاری در آن جلوگیری نموده و نوعی تنفس فشاری محصورکننده غیر فعال بدن وارد می‌آورد. به این ترتیب باربری هسته بتنی ادامه می‌یابد و ستون در تنفس فشاری بالاتری منهدم می‌گردد.

توزیع تنفس محصورکننده دورپیچ‌هایی از جنس

خرابی‌های حاصل از زلزله‌های شدیدی که در طول دو دهه گذشته در نقاط مختلف جهان به وقوع پیوست، نشان داد که بسیاری از ستون‌های بتنی پل‌ها از ظرفیت باربری لازم برخوردار نبوده و به ترمیم و مقاومسازی فوری نیازمندند. در نخستین شیوه‌های ترمیم ستون‌ها، از روپوش‌های فولادی برای محصورشدن پیرامون ستون استفاده می‌گردید. علی‌رغم آنکه این شیوه مقاومت فشاری بالای ورقه‌های فولادی و قابلیت خوردگی آن، هزینه‌های زیادی را در مراحل نصب و نگهداری به همراه داشت. با پیدایش پلیمرهای مسلح شده با الیاف یا مواد مرکب FRP و گسترش استفاده از آن در مهندسی عمران، روش‌های ترمیم و مقاومسازی ستون‌های بتنی، جهش قابل ملاحظه‌ای یافت. این امر به دلیل ویژگی‌های ممتاز این نوع مواد، همچون نسبت مقاومت کششی به وزن

کاهش یافته و توزیع کرنش محوری در ارتفاع، خطی می‌گردد. در این حالت توزیع تنش فشاری محصور‌کننده همانند تصاویر شکل (۱) نیست. به این ترتیب استفاده از رابطه‌های پیشین، برای تخمین مقاومت فشاری بتن محصورشده تحت اثر بار فشاری برون محور غیر منطقی به نظر می‌رسد.

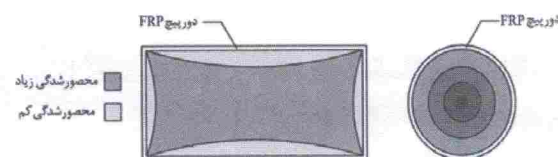
ساقچی‌غلو و همکارانش [۳] به هنگام اعمال بار برون محور فشاری، تغییراتی خطی همانند شکل (۲-الف) را برای تنش فشاری محصور‌کننده ناشی از آرماتورهای فولادی موجود در مقطع ستون پیشنهاد نموده‌اند. به این ترتیب مقدار تنش و کرنش فشاری بتن در تارهای مختلف مقطع، همانند شکل (۲-ب)، متغیر خواهد بود.



شکل ۲: توزیع تنش محصور‌کننده جانبی و نمودار تنش-کرنش بتن محصورشده [۳].

در پژوهشی دیگر، فام و همکارانش [۴] با فرض شرایط حدی، مقاومت فشاری بتن محصورشده با قالب‌های CFRP را در برون محوری‌های مختلف بار فشاری مدل‌سازی کرده‌اند. در این مدل مقدار مقاومت فشاری بتن محصورشده همزمان با افزایش برون محوری بار، کاهش می‌یابد. چعلال و شهابی [۵] نیز از کامپوزیت‌های مسلح شده با الیاف کربنی دو سویه، برای دورپیج نمودن ستون‌های بتن‌آرمه بهره گرفتند. نتایج این آزمایش‌ها نشان می‌دهد که به هنگام استفاده از قالب‌های کامپوزیتی و یا ورقه‌های مسلح شده با الیاف دو سویه، افزایش ظرفیت خمی تیر-ستون‌های دورپیج شده محسوس‌تر از بهبود ظرفیت باربری محوری آنهاست. علت آن است که قرارگیری الیاف در راستای طولی ستون، همچون آرماتورهای کامپوزیتی موجود در ناحیه کششی مقطع، ظرفیت خمی آن را بهبود می‌بخشد. مقدار نیروی محوری و لنگر خمی وارد بر ستون‌های واقعی به گونه‌ای است که نقطه شکست نهایی ستون‌های بتنی معمولاً در

در مقطع مدور و چهارگوش متفاوت است. این تفاوت در شکل (۱) به تصویر درآمده است. مطابق این شکل، در مقطع مدور تنش محصور‌کننده جانبی به طور یکنواخت در کل مقطع ستون توزیع می‌شود. در حالی که در مقطع چهارگوش، توزیع فشار محصور‌کننده غیر یکنواخت است. در این مقطع گوشه‌ها از دو جهت تحت فشار محصور‌کننده قرار می‌گیرند. از این‌رو مقدار تنش در این نواحی بیشتر از نواحی دیگر است. توزیع یکنواخت تنش محصور‌کننده در ستون‌هایی با مقطع مدور، تنش‌های یکنواختی را در دورپیج FRP ایجاد می‌نماید. محصورشدن این نوع مقطع، مقاومت فشاری آنها را به مقدار قابل ملاحظه‌ای افزایش می‌دهد. رابطه‌های متعددی برای محاسبه مقاومت بتن محصورشده در مقطع مدور پیشنهاد شده است. از آن جمله می‌توان به مدل سمعان و همکارانش [۱] به صورت رابطه ۱ و مدل کاربهاری و زائو [۲] به شکل رابطه ۲ اشاره کرد. در این روابط f'_{cc0} ، f'_{frp} و f'_{c0} به ترتیب مقاومت فشاری بتن اولیه، مقاومت فشاری بتن محصورشده و تنش محصور‌کننده جانبی دورپیج هستند.



شکل ۱: توزیع فشار محصور‌کننده در مقطع مدور و چهارگوش.

$$f'_{cc0} = f'_{c0} + 6.0 f'_{frp}^{0.7} \quad (1)$$

$$f'_{c0} = f'_{c0} \left[1 + 2.1 \left(\frac{f'_{frp}}{f'_{c0}} \right)^{0.87} \right] \quad (2)$$

رابطه‌هایی که برای بیان مقاومت فشاری بتن محصورشده با مواد FRP ارائه شده است، غالباً بر اساس آزمایش اعمال بار فشاری مرکزگرا به نمونه‌ها ستون‌ها به دست آمده‌اند. در حالی که در عمل تمامی ستون‌های بتنی، تحت اثر اندرکشن بار فشاری و لنگر خمی قرار می‌گیرند. هنگامی که بار فشاری برون محور به مقطع ستون وارد می‌آید، حجم تنش فشاری وارد بر مقطع

تسلیح نمونه ستون‌ها با استفاده از آرماتورهای نوع دو انجام پذیرفت. مقدار تنش جاری شدن این آرماتورها برابر با 370 مگاپاسکال به دست آمده است.

نمونه ستون‌ها با یک لایه کامپوزیت پلیمری مسلح شده با الیاف کربنی یک جهته و به روش "Wet Layup" دورپیچ شدند. برای تعیین خصوصیات باربری دورپیچ CFRP، نمونه‌هایی از این کامپوزیت مطابق با استاندارد ASTM D3039 تحت آزمایش ظرفیت کششی قرار گرفت. خصوصیات مکانیکی به دست آمده برای این کامپوزیت در جدول (۱) آمده است.

جدول ۱: ویژگیهای مکانیکی CFRP

نوع الیاف	C-Sheet240
ضخامت (mm)	۰/۱۷۶
کرنش نهایی (%)	۱/۲۳
مقاومت کششی (MPa)	۲۸۷۶
ضریب کشسانی (GPa)	۲۳۴

الیاف کربنی در مقایسه با انواع دیگر، عموماً از مقاومت کششی بالاتری برخوردارند. از اینرو بهود ظرفیت باربری ستون‌های دورپیچ شده با این کامپوزیت‌ها مشهودتر از انواع دیگر است. همچنین تک سویه بودن الیاف به کارگرفته شده سبب می‌شود تا فقط اثرات محصور‌کنندگی کامپوزیت مورد توجه قرار گیرد.

جدول ۲: نمونه‌ها و برون محوری اولیه بار فشاری.

سری بتن‌ریزی	مشخصه نمونه‌ها*	برون محوری اولیه (mm)	مقاومت فشاری بتن (MPa)
I	BC-E3-W	۳۰	۲۳/۲
	BC-E3.5-W	۳۵	
II	BC-E1-W	۱۰	۲۰/۱
	BC-E1.5-W	۱۵	
III	BC-E2-W	۲۰	۲۱/۸
	BC-E2.5-W	۲۵	

BC-Ea-W*: تیرستون دورپیچ شده و تحت اثر بار فشاری با برون محوری برابر با a

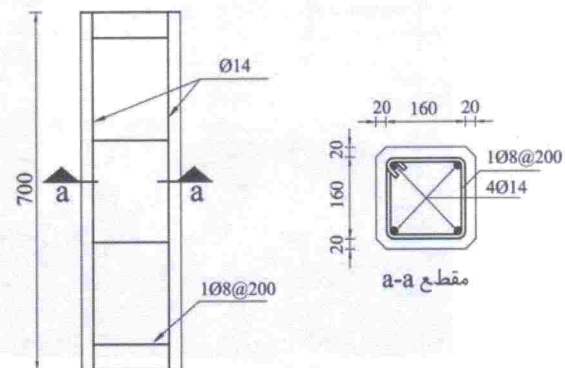
برنامه آزمایش

اعمال بار فشاری به نمونه ستون‌ها به کمک یک چک

بالای نقطه بالا انس از نمودار اندرکنش قرار می‌گیرد. به این ترتیب ستون‌های بتنی عموماً به تقویت فشاری بیش از تقویت خمشی نیازمندند. به همین دلیل در مواردی که بهود ظرفیت محوری ستون مورد نظر است، اقتصادی‌تر آن است که تقویت ستون‌ها با دورپیچ نمودن الیاف یکسویه به دور مقطع ستون و محصور نمودن آن صورت پذیرد.

نمونه‌های آزمایشگاهی

برای انجام آزمایش مورد نظر، ۶ ستون بتن‌آرمه به طول ۷۰۰ میلیمتر و با مقطعی مربعی شکل با طول ضلع ۲۰۰ میلیمتر، به عنوان نمونه‌های آزمایشگاهی ساخته شدند. جزئیات و ابعاد نمونه‌ها در شکل (۳) مشاهده می‌شود. مطالعات اصفهانی و کیانوش [۶] نشان داده است که وجود زوایای تیز در مقطع، تاثیر دورپیچ FRP را در بهود افزایش باربری ستون به صفر می‌رساند. از اینرو به منظور کاهش تمرکز تنش در دورپیچ و افزایش میزان تاثیرگذاری آن، گوشه‌های مقطع به طول ۲۰ میلیمتر در راستای هر ضلع گرد می‌شود.



شکل ۳: جزئیات نمونه ستون‌های آزمایشگاهی.

مصالح

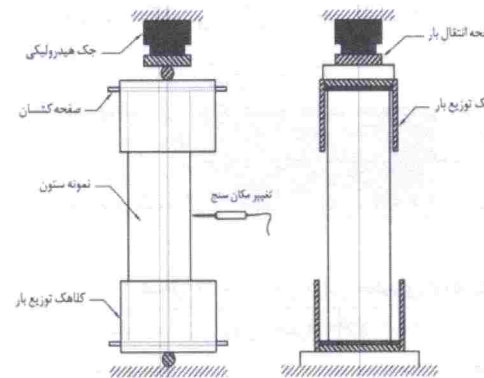
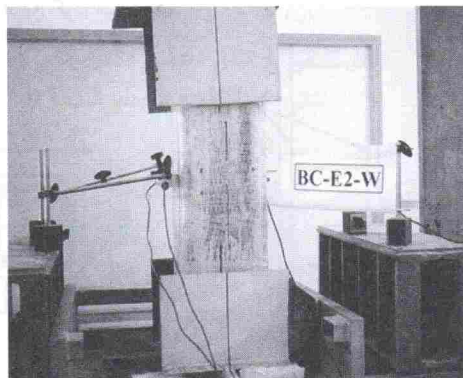
ساخت نمونه‌ها در سه نوبت بتن‌ریزی و توسط شرکت بنیان بتن صورت پذیرفته است. از هر سری بتن‌ریزی، نمونه‌های استاندارد استوانه‌ای شکل تهیه گردیده و در شرایطی مشابه با نمونه‌های آزمایشگاهی نگهداری شده است. در خلال آزمایش نمونه ستون‌ها، مقاومت فشاری نمونه‌های استوانه‌ای اندازه‌گیری شد. مقاومت فشاری میانگین بتن در بتن‌ریزی نوبت اول، دوم و سوم به ترتیب برابر $۲۰/۱$ ، $۲۳/۲$ و $۲۱/۸$ مگاپاسکال به دست آمده است.

شدن بتن و کشیدگی الیاف در ناحیه فشاری مقطع است. شکل (۵) تصاویری از نحوه انهدام دو ستون را نشان می‌دهد. با افزایش نیروی فشاری وارد بر مقطع ستون، مقدار تنش در ناحیه فشاری مقطع، بتدریج به مقاومت فشاری بتن محصورشده نزدیک می‌شود. در این هنگام خرد شدن بتن در ناحیه فشاری مقطع آغاز می‌گردد. وجود دورپیچ پیرامونی سبب می‌گردد تا جدادشگی بتن خرد شده به تاخیر افتاد و باربری ستون ادامه می‌یابد. با ادامه بارگذاری ستون، تخریب ناحیه فشاری مقطع تشیدید می‌گردد. در این هنگام صدایی مربوط به کشیده شدن الیاف پیرامون ستون و یا جدا شدن دورپیچ از سطح جانبی ستون شنیده می‌شود. در حالت نهایی دورپیچ پیرامونی، در وجه فشاری ستون به مقاومت کششی خود می‌رسد و همراه با صدای بلند و به طور ناگهانی منهدم می‌شود. با انهدام کامپوزیت پیرامونی، ستون به نقطه گسیختگی می‌رسد. این نوع رفتار کم و بیش در تمامی نمونه‌ها مشاهده شده است.

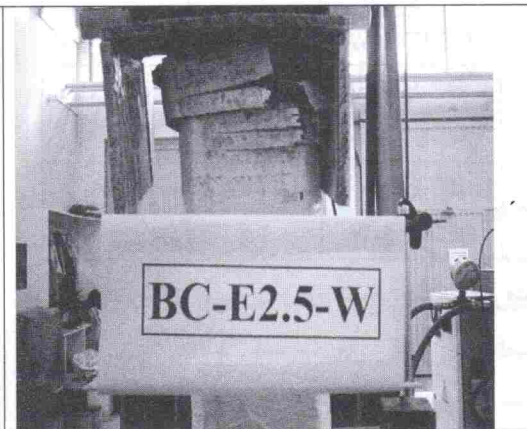
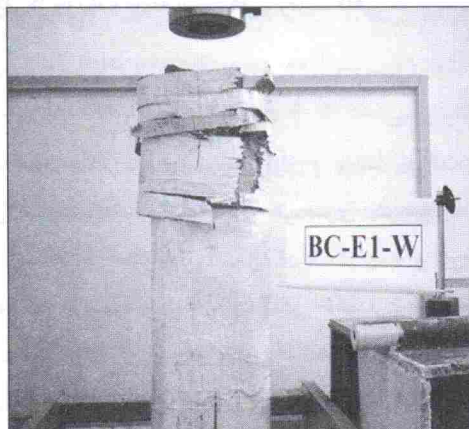
فشاری هیدرولیکی صورت پذیرفته است. مقدار نیروی اعمال شده به نمونه‌ها و تغییر مکان میانه ارتفاع آنها به کمک نیروسنجد و تغییر مکان سنجد یا LVDT اندازه‌گیری شده و توسط سیستم کامپیوترا ثبت و پردازش اطلاعات ذخیره گردید. جزئیات قرارگیری نمونه‌ها در زیر جک و نحوه انتقال بار برون محور فشاری به آنها در شکل (۴) به تصویر درآمده است. با توجه به ابعاد مقطع ستون، مقدار برون محوری بار فشاری به گونه‌ای انتخاب شده است تا فولادهای طولی مقطع تحت تنش کششی قرار نگیرد. در جدول (۲) نحوه نامگذاری نمونه‌ها و مقدار برون محوری اولیه بار فشاری وارد بر هر یک از آنها مشخص شده است.

مشاهدهات و نتایج آزمایش

شکست نهایی نمونه ستون‌های محصورشده با CFRP، کاملاً ترد و ناگهانی است. تنها علامت هشدار دهنده در این نمونه‌ها، شدت روند افزایش تغییر مکان‌های اندازه‌گیری شده و نیز تشديد صدای ناشی از خرد



شکل ۴: جزئیات انتقال بار به نمونه ستون‌ها.



شکل ۵: انهدام دو نمونه ستون بارگذاری شده.

میانه ارتفاع نمونه‌ها، همزمان با افزایش نیروی فشاری وارد بر آنها ترسیم شده است. همچنین در جدول (۳) مقادیر نیروی محوری و لنگرخمشی نهایی اندازه‌گیری شده برای نمونه‌ها آمده است.

مقایسه نتایج با آیین‌نامه‌ها

برای استفاده از روابط آیین‌نامه بتن آمریکا [ACI-۷۰۲] (۱) و آیین‌نامه کانادا [CSA-A23.3-M94] (۲)، به منظور محاسبه ظرفیت نهایی نمونه ستون‌های محصور شده، ابتدا مقاومت فشاری بتن محصور شده محاسبه گردیده و سپس این مقدار در رابطه‌های آیین‌نامه‌ای جایگزین می‌شود. مقدار تقریبی مقاومت فشاری بتن محصور شده با دورپیچ CFRP تحت اثر بار فشاری محوری، در توصیه‌نامه طراحی انجمن ISIS کانادا [۹]، از روابط زیر محاسبه می‌شود:

$$f'_{cc0} = f'_{c0} (1 + \alpha_{pc} \omega_w) \quad (۳)$$

$$\omega_w = \frac{f_{ffpu}}{f'_{c0}} \quad (۴)$$

در روابط بالا f_{ffpu} بیشینه تنش محصور کننده از طرف دورپیچ کامپوزیتی بر مقطع چهارگوش است و به کمک رابطه ۵ محاسبه می‌گردد. α_{pc} نیز ضریب اجراست و در شرایط آزمایشگاهی برابر با واحد اختیار می‌گردد.

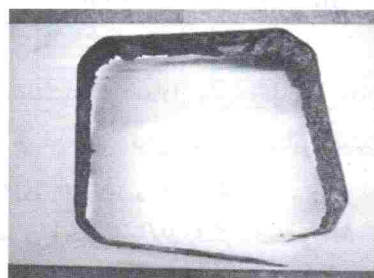
$$f_{ffpu} = \frac{2N_b E_{frp} \varepsilon_{frpu} t_{frp} (b+h)}{bh} \quad (۵)$$

در رابطه ۵، b و h ابعاد مقطع و N_b تعداد لایه‌های FRP به دور آن است. E_{frp} و t_{frp} نیز به ترتیب ضخامت هر لایه دورپیچ و ضریب کشسانی آن است. همچنین ε_{frpu} کرنش کششی نهایی FRP است و به طور محافظه‌کارانه برابر با 0.020 فرض می‌شود. با جایگذاری مشخصات کامپوزیت مورد استفاده، در رابطه‌های بالا مقدار مقاومت فشاری محصور شده بتن محاسبه می‌گردد. این مقادیر در جدول (۴) آمده است. شکل (۹) نیروهای موجود در مقطع ستون بتی محصور شده را در حضور لنگرخمشی نشان می‌دهد. در این شکل، کرنش نهایی بتن فشاری است که در آیین‌نامه امریکا و کانادا به ترتیب برابر با

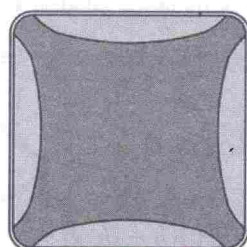
گسیختگی دورپیچ در یکی از دو انتهای ستون و به فاصله‌ای حدود یک سوم ارتفاع ستون، از محل اعمال بار اتفاق افتاده است. محل گسیختگی دورپیچ CFRP در مقطع تمامی نمونه‌ها، در وجه فشاری ستون و همانند تصویر شکل (۶) نزدیک به یکی از گوشه‌ها رخ می‌دهد. همانطور که در شکل (۷) نشان داده شده، در محل گوشه‌های مقطع ناحیه محصور شده وسیع‌تری به وجود می‌آید. بدینهی است که در این نواحی مرکز تنش کششی بیشتری در دورپیچ ایجاد شده و گسیختگی آن را موجب می‌شود.

جدول ۳: نتایج آزمایش نمونه ستون‌ها.

مشخصه نمونه‌ها	مقاومت فشاری بتن (MPa)	نیروی نهایی (kN)	لنگرخمشی نهایی (kN.m)
BC-E1-W	۲۰/۱	۸۴۱/۵۲۱	۸/۴۱۵
BC-E1.5-W		۷۸۳/۱۵۰	۱۱/۷۴۷
BC-E2-W	۲۱/۸	۷۵۹/۲۸۷	۱۵/۱۸۶
BC-E2.5-W		۶۹۳/۸۲۴	۱۷/۳۴۶
BC-E3-W	۲۳/۲	۶۷۴/۵۸۱	۲۰/۲۳۷
BC-E3.5-W		۵۸۵/۸۰۷	۲۰/۵۰۳

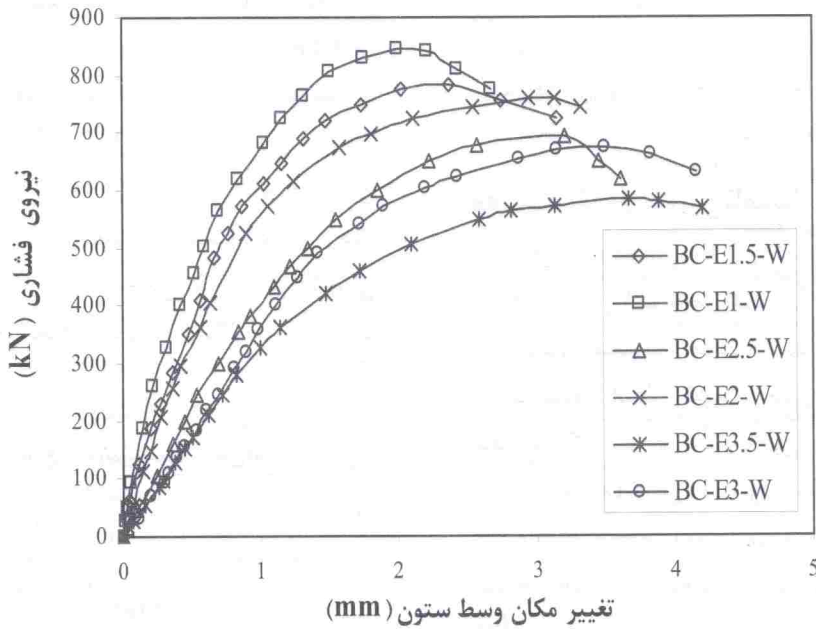


شکل ۶: نحوه گسیختگی دورپیچ CFRP.



شکل ۷: توزیع تنش محصور کننده در مقطع ستون.

در شکل (۸) تغییر مکان جانبی اندازه‌گیری شده در



شکل ۸: نمودارهای تغییرات نیروی فشاری و تغییر مکان جانبی میانه ارتفاع نمونه‌ها.

جدول ۴: مقاومت فشاری محصور شده بتن.

سری بتن ریزی	مقاومت فشاری محصور نشده f'_{c0} (MPa)	مقاطومت فشاری محصور شده f'_{cc0} (MPa)	افزایش مقاومت فشاری (%)
I	۲۳/۲	۲۴/۹	۷/۳
II	۲۰/۱	۲۱/۷	۸/۰
III	۲۱/۸	۲۳/۴	۷/۳

با تعریف بلوک تنش معادل و بهره‌گیری از تعادل نیروهای وارد بر مقطع، می‌توان ظرفیت نهایی ستون در برونو محوری‌های مختلف را محاسبه کرد. برای تعیین مقدار نهایی نیروی فشاری P و لنگر خمی M که همزمان موجب انهدام ستون می‌شوند، کافی است که تعادل نیروهای وارد بر مقطع ستون در شکل (۹)، برقرار شود. با توجه به جهت و نقطه اثر نیروها و لنگرهای خمی نشان داده شده در این شکل، روابط زیر به دست می‌آید:

$$P = (\alpha f'_{c0})(\beta c)b + C_s + C_s \quad (8)$$

$$M = 0.5(\alpha f'_{c0})(\beta c)(h - \beta c)b + C_s(0.5h - d') - C_s(d - 0.5h) \quad (9)$$

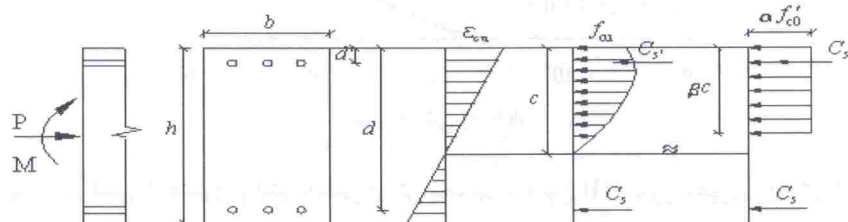
با تغییر عمق ناحیه فشاری در رابطه‌های بالا، مقادیر

۰/۰۳۵ و ۰/۰۰۳ در نظر گرفته می‌شود. همانگونه که در شکل (۹) مشاهده می‌گردد، توزیع تنش در قسمت فشاری مقطع با بلوک تنش فشاری معادل، قابل جایگزینی است. ابعاد بلوک تنش فشاری در شکل (۹)، با βc مشخص گردیده است. f'_{c0} مقاومت فشاری بتن محصور نشده و c عمق ناحیه فشاری مقطع ستون است. مقدار ضرایب α و β نیز در آیین‌نامه بتن امریکا و آیین‌نامه کانادا به ترتیب با رابطه‌های ۶ و ۷ تعریف می‌گردد [۸, ۷]:

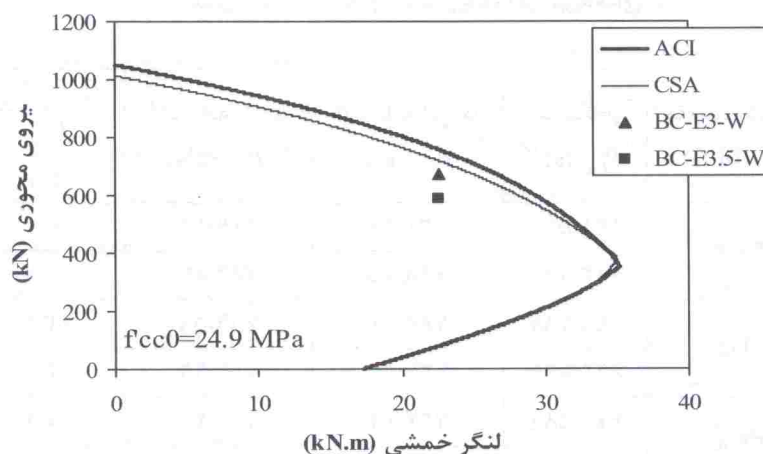
$$\begin{aligned} \alpha &= 0.85 \\ \beta &= 1.06429 - 0.00714 f'_{c0} \\ 0.65 &\leq \beta \leq 0.85 \end{aligned} \quad (8)$$

$$\begin{aligned} \alpha &= 0.85 - 0.0015 f'_{c0} \geq 0.67 \\ \beta &= 0.97 - 0.0025 f'_{c0} \geq 0.67 \end{aligned} \quad (V)$$

نکته جالب توجه آن است که با افزایش بروز محوری بار فشاری، ضریب اطمینان موجود در پاسخهای آیین نامه‌ای روبه کاهش می‌نهد. به گونه‌ای که بیشترین اختلاف میان مقدار حاصل از هر دو آیین نامه با نتایج تجربی در نمونه ستون BC-E3.5-W با بیشینه بروز محوری بار فشاری است. این امر را می‌توان ناشی از تأثیر بروز محوری بار فشاری در نمونه ستون‌های محصور شده دانست. اعمال لنگر خمی بر نمونه ستون‌های محصور شده، علاوه بر کاهش ظرفیت باربری فشاری ستون به دلیل اندرکنش بار فشاری و لنگر خمی، سبب کاهش مقدار تنش فشاری محصور کننده و به تبع آن مقاومت فشاری محصور شده این نمونه ستون‌ها گردیده است. به بیان دقیق‌تر در نمونه‌هایی که با بروز محوری بیشتری تحت بار فشاری قرار می‌گیرند، تنش محصور کننده واقعی شود. از این‌رو محاسبه مقاومت فشاری بتن محصور شده به کمک روابطی که در شرایط بارگذاری محوری تدوین شده‌اند، تحت اثر همزمان بار فشاری و لنگر خمی منطقی به نظر نمی‌رسد.



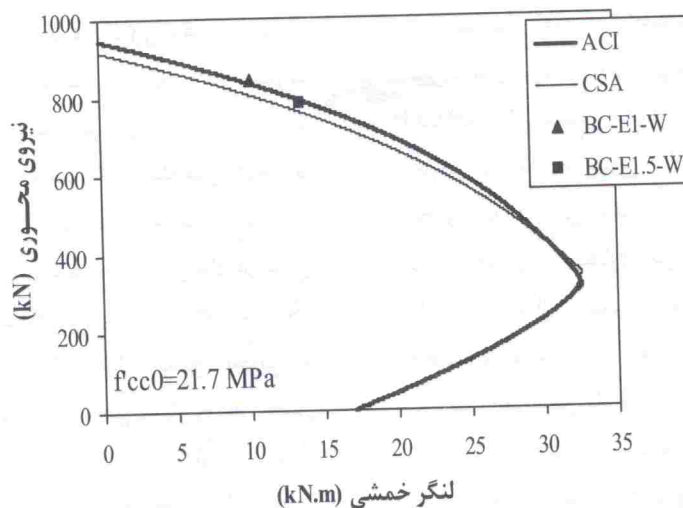
شکل ۹: توزیع تنش و کرنش در مقطع ستون و بلوك تنش معادل در حضور لنگر خمی.



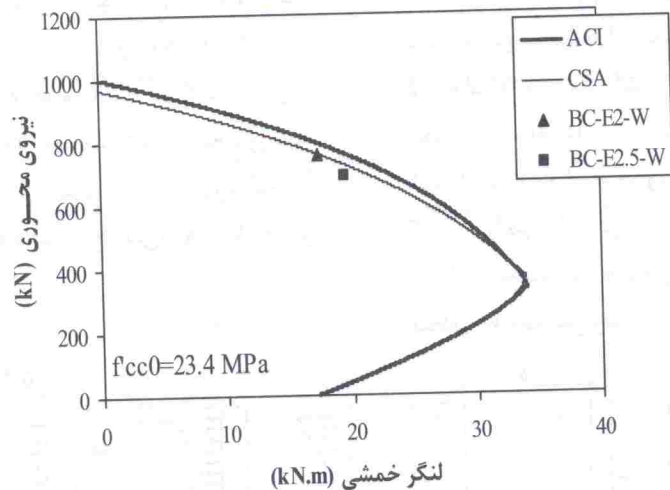
شکل ۱۰: نمودار اندرکنش بار فشاری و لنگر خمی در بتن محصور شده نوع I و بروز محوری های ۳, ۵ سانتی‌متر.

جدیدی برای نیروی محوری و لنگر خمی نهایی وارد بر مقطع ستون به دست می‌آید. با قرارگیری مقادیر متناظر در یک نمودار، متحنی اندرکنش ستون به صورت نمودارهای (۱۰) الی (۱۲) ترسیم می‌شود.

در جدول (۵) نتایج حاصل از رابطه‌های فوق، با مقادیر به دست آمده از آزمایش مقایسه شده است. بر اساس مقادیر به دست آمده، روند محاسباتی بالا در بروز محوری‌های کم به جواب‌های نزدیک به واقعیت منجر شده است. فاصله ناچیزی که میان نتایج تجربی و آیین نامه‌ای است با افزایش بروز محوری بار رو به کاهش می‌نهد و روابط آیین نامه پاسخ‌هایی بیشتر از مقدار آزمایشگاهی داده‌اند. این امر را می‌توان ناشی از کاهش حجم تنش فشاری وارد بر مقطع دانست. به بیان دقیق‌تر در نمونه ستون‌هایی با بروز محوری‌های زیاد، تنش محصور کننده واقعی ناشی از دورپیچ CFRP کمتر از مقداری است که از رابطه ۵ محاسبه می‌گردد. بدینهی است که در این حالت مقدار مقاومت فشاری محصور شده بتن کاهش خواهد یافت. از این‌رو انتظار می‌رود که در بروز محوری‌های بالاتر، فاصله نتایج آیین نامه‌ای با مقادیر تجربی افزایش یابد.



شکل ۱۱: نمودار اندرکنش بار فشاری و لنگر خمشی در بتن محصورشده نوع II و برون محوری های ۱ و ۱.۵ سانتیمتر.



شکل ۱۲: نمودار اندرکنش بار فشاری و لنگر خمشی در بتن محصورشده نوع III و برون محوری های ۲ و ۲.۵ سانتیمتر.

جدول ۵: مقایسه نتایج آزمایش با مقادیر آینه‌ای.

مشخصه نمونه‌ها	مقاومت فشاری f'_{cc0} (MPa)	آزمایشگاهی $P_{Exp.}$ (kN)	آینه‌ای نامه امریکا P_{ACI} (kN)	آینه‌ای نامه کانادا P_{CSA} (kN)	$\frac{P_{Exp.} - P_{ACI}}{P_{Exp.}}$ (%)	$\frac{P_{Exp.} - P_{CSA}}{P_{Exp.}}$ (%)
BC-E1-W	۲۱/۷	۸۴۱/۵۲۱	۸۳۴/۸۶	۸۰۹/۱۵	+۰/۸	+۳/۸
		۷۸۳/۱۵۰	۷۸۸/۷۵	۷۶۴/۸۳	-۰/۷	+۲/۳
BC-E2-W	۲۳/۵	۷۵۹/۲۸۷	۷۸۵/۱۰	۷۵۹/۵۸	-۳/۴	-۰/۰
		۶۹۳/۸۲۴	۷۳۷/۵۵	۷۱۴/۹۹	-۶/۳	-۳/۱
BC-E3-W	۲۴/۸	۶۷۴/۵۸۱	۷۲۴/۲۴	۷۰۱/۲۴	-۷/۴	-۴/۰
		۵۸۵/۸۰۷	۶۷۹/۲۵	۶۵۹/۷۶	-۱۶/۰	-۱۲/۶

و حجم آن در بارگذاری‌های برون محور به عمق ناحیه فشاری مقطع (c) وابسته است. بسته به مقدار برون محوری بار فشاری، مقدار c از صفر تا بینهایت متغیر است. با در اختیار داشتن عمق ناحیه فشاری مقطع، حجم تنش فشاری محصورکننده‌ای که در برون محوری خاص به مقطع ستون وارد می‌آید به کمک رابطه ۱۱ محاسبه می‌گردد:

$$V_{\text{efrp}} = \begin{cases} 0.5bcf_{\text{frpu}} & (\text{if } c \leq h) \\ (1 - \frac{h}{2c})bhf_{\text{frpu}} & (\text{if } c > h) \end{cases} \quad (11)$$

در روش پیشنهاد شده برای محاسبه ظرفیت نهایی نمونه ستون‌ها در برون محوری‌های مختلف بار، نسبت حجم تنش محصورکننده فشاری وارد بر مقطع در هنگام بارگذاری برون محور به حجم تنش فشاری محصورکننده در بارگذاری محوری، به عنوان ضریبی کاهشی در محاسبه مقدار تنش فشاری محصورکننده اعمال می‌شود.

مقدار این ضریب از رابطه ۱۲ به دست می‌آید:

$$k'_e = \frac{V_{\text{efrp}}}{V_{\text{frp}}} = \begin{cases} \frac{c}{2h} \leq 0.5 \\ 1 - \frac{h}{2c} \geq 0.5 \end{cases} \quad (12)$$

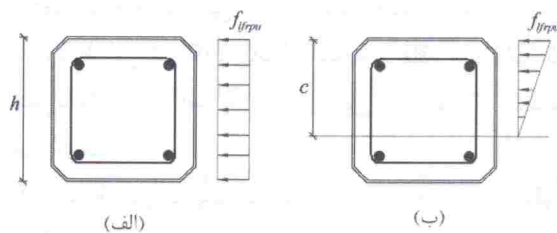
با ضرب مقدار به دست آمده از رابطه فوق در رابطه ۵، رابطه ۱۳ حاصل می‌آید که برای محاسبه مقاومت فشاری محصورکننده متغیر در برون محوری مورد نظر قابل استفاده است.

$$f_{\text{frpu}} = k'_e \frac{2N_b E_{\text{frp}} \varepsilon_{\text{frpu}} t_{\text{frp}} (b+h)}{bh} \quad (13)$$

رابطه بالا متناسب با مقدار ضریب k'_e ، پاسخ‌های مختلفی را برای مقدار تنش محصورکننده جانبی نمونه ستون‌های آزمایش شده در اختیار می‌گذارد که با شرایط مرزی و فرضیات نخستین، سازگاری دارد. اگر در بارگذاری‌های محوری عمق ناحیه فشاری برابر با بینهایت انگاشته شود، مقدار ضریب k'_e حاصل از رابطه ۱۲ برابر با واحد خواهد شد. از این‌رو کاهشی در مقدار تنش فشاری محصورکننده وارد بر مقطع ستون اعمال نمی‌شود. در حالی که فقط لنگر خمی بر مقطع ستون وارد می‌آید، اگر مقدار c برابر با صفر اختیار گردد، ضریب k'_e نیز برابر

روش پیشنهادی برای کاهش تنش محصورکننده در حضور لنگر خمی

در این بخش با توجه به فرضیات ارائه شده توسط محققان پیشین و به منظور سازگار نمودن روابط آیینه‌ها با نتایج به دست آمده برای ستون‌های محصورکننده، روش ساده‌ای برای کاهش تنش محصورکننده وارد بر نمونه‌های محصورکننده در حضور لنگر خمی پیشنهاد خواهد شد. شکل (۱۳) نحوه توزیع تنش محصورکننده جانبی دورپیچ CFRP بر مقطع ستون‌های محصورکننده را در دو نوع بارگذاری محوری و برون محور نشان می‌دهد.



شکل ۱۳: توزیع فرضی تنش محصورکننده؛ (الف) بارگذاری محوری، (ب) بارگذاری برون محور.

مطابق شکل (۱۳-الف) مقدار تنش فشاری محصورکننده در مقطع ستونی که تحت بار فشاری محوری قرار می‌گیرد، در کل ارتفاع مقطع ثابت است و از رابطه ۵ به دست می‌آید. در این شکل حجم تنش فشاری محصورکننده وارد بر مقطع ستون برابر با رابطه ۱۰ است.

$$V_{\text{frp}} = bh f_{\text{frpu}} \quad (10)$$

در هنگام اعمال بارفشاری برون محور به ستون محصورکننده، توزیع تنش محصورکننده همانند شکل (۱۳-ب) در نظر گرفته می‌شود. تنش محصورکننده وارد بر مقطع ستون، از مقداری بیشینه و حاصل از رابطه ۵ در دورترین تار فشاری مقطع، تا مقدار صفر در روی تار خنثی به طور خطی تغییر می‌نماید. همچنین مقدار این تنش در نقاط هم ارتفاع مقطع ثابت فرض می‌شود. این شیوه توزیع تنش محصورکننده در بارگذاری‌های برون محور، مبتنی بر فرضیاتی است که پیش از این توسط ساقی‌وغلو و همکارانش [۳] در مورد ستون‌های محصورکننده با آرماتورهای فولادی پیشنهاد شده است. با توجه به شکل (۱۳-ب) شدت توزیع تنش محصورکننده

- جنس کربن بوده است. این نمونه‌ها تحت اثر بار فشار با بروز محوری‌های مختلف آزمایش شده‌اند. نتایج حاصل از این تحقیق به شرح زیر می‌باشد:
- ۱- دورپیچ نمودن ستون‌های مربعی شکل سبب ظرفیت باربری آنها شده است. هر چند که این افزایش کمتر از میزانی است که توسط محققان دیگر بر ستون‌های محصور شده با مقطع مدور پیش‌بینی شده است.
 - ۲- اعمال لنگر خمی بر ستون‌های محصور شده کاهنده‌ای بر مقاومت فشاری بتن محصور شده و در نتیجه بر اندرکنش بار فشاری و لنگر خمی می‌گذارد.
 - ۳- با توجه به بند ۲، محاسبه مقاومت فشاری بتن محصور شده و جایگزین آن با مقاومت فشاری معمولی بتن در روابط بتن آمریکا و کانادا، پاسخ‌های فاقد اطمینانی به همراه دارد. این امر با افزایش بروز محوری بار تشديدی می‌گردد.
 - ۴- اعمال ضریب پیشنهاد شده در این تحقیق به منظور محاسبه مقاومت فشاری بتن محصور شده در بروز محوری‌های مختلف و جایگذاری مقاومت فشاری به دست آمده در روابط آیین‌نامه‌ها پاسخ‌های نزدیک به نتایج آزمایشگاهی می‌دهد.

قدرتانی

نمونه‌های آزمایش شده در این پژوهه تحقیقاتی، با مساعدت صمیمانه مدیریت و پرسنل محترم شرکت بنیان بتن ساخته شده است. بدین وسیله از همکاری این عزیزان سپاسگذاری می‌گردد.

جدول ۶: بار نهایی نمونه‌های محصور شده بر مبنای آیین‌نامه‌های آمریکا و کانادا با فرض محصور شدگی متغیر.

مشخصه نمونه‌ها	بروز محوری نهایی بار (mm)	مقاومت فشاری محصور شده متغیر $f'_{cc(V)}$	$P_{Exp.}$ (kN)	$P_{ACI(V)}$ (kN)	$\frac{P_{Exp} - P_{ACI}}{P_{Exp}}$ (%)	$P_{CSA(V)}$ (kN)	$\frac{P_{Exp} - P_{CSA}}{P_{Exp}}$ (%)
BC-E1-W	۱۲/۲۱۱	۲۰/۹۹	۸۴۱/۵۲۱	۸۱۲/۱۸	۳/۵	۷۸۶/۴۵	۶/۵
BC-E1.5-W	۱۷/۳۶۷	۲۰/۹۴	۷۸۳/۱۵۰	۷۶۶/۰۹	۲/۲	۷۴۲/۵۶	۵/۲
BC-E2-W	۲۲/۹۵۵	۲۲/۰۹	۷۵۹/۲۸۷	۷۶۲/۵۸	-۰/۴	۷۳۷/۸۵	۲/۸
BC-E2.5-W	۲۸/۲۰۴	۲۲/۰۴	۶۹۳/۸۲۴	۷۱۵/۶۸	-۳/۲	۶۹۳/۹۸	-۰/۰
BC-E3-W	۳۳/۴۹۳	۲۳/۹۰	۶۷۴/۵۸۱	۷۰۲/۳۸	-۴/۱	۶۸۰/۹۰	-۰/۹
BC-E3.5-W	۳۸/۶۷۱	۲۳/۸۶	۵۸۵/۸۰۷	۶۵۸/۲۹	-۱۲/۴	۶۴۰/۳۲	-۹/۳

با صفر می‌شود. به این ترتیب در خمی خالص، مقدار تنش فشاری محصور کننده وارد بر مقطع ستون برابر با صفر می‌شود. در مقادیر مختلف بار محوری و لنگر خمی با هر بار تغییر مقدار C ، ضریب k' نیز محاسبه شده و در روابط آیین‌نامه‌ای جایگذاری می‌گردد. به این ترتیب با اتمام مراحل محاسباتی، مقدار نیروی محوری نهایی و لنگر خمی متناظر با آن بر اساس تنش محصور کننده متغیر در اختیار خواهد بود.

در جدول (۶) مقدار ظرفیت فشاری محاسبه شده برای نمونه ستون‌های محصور شده، با فرض محصور شدگی متغیر بر اساس آیین‌نامه‌های بتن آمریکا و کانادا با نتایج تجربی مقایسه شده است.

مقایسه نتایج جدول (۶) با نتایج جدول (۵) نشان می‌دهد که استفاده از روش محصور شدگی متغیر در تخمین ظرفیت فشاری نمونه ستون‌ها، به طور کلی سبب افزایش ضریب اطمینان موجود در پاسخ‌های آیین‌نامه‌ای شده است. همچنین بهره‌گیری و تلفیق این روش با روابط و فرضیات آیین‌نامه کانادا به پاسخ‌های بهتری منجر شده است. اگر چه در بیشترین مقدار بروز محوری بار، هنوز هم مقادیر دو آیین‌نامه آمریکا و کانادا در خلاف جهت اطمینان است.

خلاصه و نتیجه‌گیری

در این پژوهش ظرفیت نهایی نمونه ستون‌های بتن‌آرمه تقویت شده با پلیمرهای مسلح CFRP، مورد بررسی قرار گرفته است. نمونه‌های آزمایش شده شامل ۶ ستون مربعی شکل و دورپیچ شده با الیاف یکسويه از

مراجع

- 1 - Samaan M., Miemiran, A. and Shahawy, M. (1998). "Model of concrete confined by fiber composite." *Journal of Structural Engineering*, Vol. 124, No. 9, PP. 1025-1031.
- 2 - Karbhari, V. M. and Gao, Y. (1997). "Composite jacketed concrete under uniaxial compression– verification of simple design equations." *ASCE Journal of Materials in Civil Engineering*, Vol. 9, No. 4, PP. 185-193.
- 3 - Saatcioglu, M., Salamat, A. H. and Razvi, S. R. (1995). "Confined columns under eccentric loading." *ASCE Journal of Structural Engineering*, Vol. 121, No. 11, PP. 1547-1556.
- 4 - Fam, A., Flisak, B. and Rizkalla, S. (2003). "Experimental and analytical modeling of concrete-filled fiber-reinforced polymer tubes subjected to combined bending and axial loads." *ACI Structural Journal*, Vol. 100, No. 4, PP. 499-509.
- 5 - Chaallal, O. and Shahawy, M. (2000). "Performance of fiber-reinforced polymer-wrapped reinforced concrete column under combined axial-flexural loading." *ACI Structural Journal*, Vol. 97, No. 4, PP. 650-669.
- 6 - Esfahani, M. R. and Kianoush, M. R. (2004). "Axial compressive strength of reinforced concrete columns wrapped with FRP." *1st conference on Application of FRP Composites in Construction and Rehabilitation of Structures*, May 4, Tehran, Iran.
- 7 - ACI, (2002). "Building code requirements for structural concrete." *Standard 318M-02*, American Concrete Institute.
- 8 - CSA (1994). "Design of concrete structures." *Standard A23.3-94*, Canadian Standards Association, Rexdale, Ontario.
- 9 - ISIS CANADA (2001). "The canadian network of centers of excellence on intelligent sensing for innovative structures." *Strengthening Reinforced Concrete Structures with External y-Bonded Fiber Reinforced Polymer*, Design Manual No. 4.

واژه های انگلیسی به ترتیب استفاده در متن

- 1 - Fiber Reinforced Polymers